

中华醫學會鞍山市支會理療1963年年會

論文彙編

中华医学会鞍山市支会编印

中华医学学会鞍山市支会理疗1963年会
论 文 汇 编

编 辑: 鞍山市湯崗子夢泉理療醫院

出 版 行: 中华医学学会鞍山市支会

印 刷: 沈阳市新生印刷厂

印 数: 200 册 书本費: 4.00元

目 次

論 文 第一部份

- 湯崗子矿泉对机体某些生理机能影响的初步探討 张玉田等... (1)
医用紫赤外線机 王忠义... (11)
矿泉医疗体育并用按摩針刺治疗 100 例大骨节病疗效觀察 王立民等... (24)
对“风湿性关节痛”若干問題的商榷 劉 昆等... (29)
350 例 大骨节病矿泉理疗效果觀察 閻世昌等... (38)
类风湿性关节炎的診斷与矿泉理疗 白振清... (41)
湯崗子矿泉治疗皮肤病綜述 陈光发... (46)
湯崗子矿泉綜合治疗牛皮癬繼发紅皮症七例初步分析 王延章... (53)
湯崗子矿泉矿泥治疗 90 例 慢 性妇科病的疗效觀察 王雅丽... (56)
矿泉物理因素治疗潰瘍病的初步体会 陈俊民... (62)
脊髓灰質炎后遺症应用矿泉綜合疗法 58 例 的疗效初步觀察 夏德貴... (68)
矿泉理疗对某些神經疾患的疗效 史永明... (73)
医疗体育綜合湯崗子矿泉理疗治疗 63 例 坐骨 神經痛的觀察報告 陈彥文... (78)
脾区 Novocaine 游子导入治疗类风湿性关节炎 52 例報告 劉 昆等... (79)
矿泉綜合治疗对成人股骨头骨軟骨病的效果觀察 劉 昆等... (80)
湯崗子矿泉治疗牛皮癬性关节炎 6 例報告 王延章... (81)
超声波疗法的临床疗效觀察 赵荣达等... (82)

論 文 第二部份

- 广东省粤中地区矿泉志(初稿) 广东医学科学院矿泉研究室... (87)
祖国矿泉的溫度分类芻說 陈炎冰... (88)

从《食物本草》看祖国各地温泉的医疗经验	陈炎冰	(91)
三元里矿泉的初步研究	陈炎冰等	(93)
微波照射家兔某些组织脏器的实验研究	郭中和等	(97)
直肠内黄连大蒜离子透入治疗慢性前列腺炎疗效观察	高良恕	(101)
30例膝关节半月板摘除术后功能疗法的疗效观察	黄美光	(106)
神经衰弱植物神经变化的五种客观检查的观察	张彌生等	(110)
平山矿泉水疗综合乌贼母散治疗23例胃及十二指肠溃疡病的疗效观察	王新等	(111)
平山矿泉治疗49例牛皮癣、35例湿疹的初步总结	王新等	(114)
直流电碘离子透入与超短波治疗蜘蛛囊炎一例报告	佟明礼	(116)
红外线与超红斑量紫外线照射治疗坏死丹毒一例报告	佟明礼	(118)
威海矿泉应用的点滴经验	颜福增	(121)
矿泉浴配合半夏电泳治疗86例慢性胃肠道疾病临床观察	颜福增	(125)
威海矿泉治疗138例银屑病的临床观察	邓汝祺	(129)
类风湿性关节炎心电图改变的观察	王宗择	(133)
矿泉浴配合超声波等综合治疗76例坐骨神经痛的临床疗效初步观察	张传华	(136)
86例神经衰弱和神经衰弱症候群临床分析与理疗观察	於明庚	(140)
41例大骨节病理疗效观察	黄枫林	(146)
采用对氨基水杨酸钙(P.A.S)游子导入治疗肺结核之初步总结	陈扶生等	(152)
直流电溴游子导入治疗慢性支气管炎75例初步经验	陈扶生	(156)
直流电游子透入及电泳疗法的临床使用价值	陈扶生	(161)
普鲁卡因离子透入治疗男性乳房发育症一例报告	陈扶生	(165)
低频电流苏打水二槽浴浸足治疗30例原发性高血压的效果分析	潘廷怡	(167)
矿泉浸浴病例观察总结	江苏省工人湯山疗养院	(169)
湯山矿泉治疗皮肤病的疗效报告	高偉祺	(170)
类风湿性关节炎及骨关节炎病例分析报告	高偉祺	(174)
阿尔山矿泉治疗牛皮癣31例疗效报告	竺錫琛	(175)
氯化配合按摩治疗无脉症一例报告	竺錫琛	(180)
关于物理治疗疗程的研究	陈紹清等	(181)
外敷中药加红外线治疗无黄疸型肝炎的近期疗效观察	罗良国	(182)

超短波对 130 例急性炎症疾患的临床应用	錢士志	(185)
779 例慢性风湿性关节炎的腊疗效果对比观察	錢士志	(187)
耳针穴位对几种常见疾病的诊断作用的探讨	陈绍清等	(191)
自制脉冲诊疗机介绍	錢士志	(195)
805 振荡管屏极引出线故障及检修	錢士志	(200)
介绍几种清洁石蜡的新方法	余隆茂等	(201)
本溪温泉治疗 137 例牛皮癣疗效分析	王耀清	(202)
湿疹与温泉浴疗效之分析	陈焕生	(206)
53 例神经痛温泉浴疗效观察	关文枉	(207)
体育疗法——混元桩介绍	張来斌	(211)
320 例慢性风湿病泉浴反应分析	鍾达	(212)
本溪温泉对 10 例不孕症疗效调查报告	鍾达	(213)
气功疗法治疗高血压病 31 例初步观察	崔玉仁	(214)
松脂浴治疗神经衰弱 32 例疗效观察	青島疗养院	(218)
試談大連疗养地的特点与治疗作用	司福厚	(221)
12 例伪性脊椎滑脱的初步分析	朱灝	(225)
腰腿痛的临床诊断及治疗结果判定问题	刘子彬	(232)
五龙背温泉治疗关节炎的几点体会	刘子彬	(236)
五龙背温泉治疗 123 例风湿性关节炎及关节风湿痛初步报告	齐玉芝	(239)
略談关于疗养院中使用理疗处方問題	刘昆	(244)
直流电碘游子头部透入治疗脑炎后遗症 20 例报告	古希晨	(245)
49 例无黃疸型傳染性肝炎的中波透热及中药		
板兰根合剂电透入的疗效观察	沈阳軍区总医院理疗科	(246)
68 例下肢功能障碍医疗体育的疗效观察	潘相臣	(251)
推拿治疗 60 例腰椎间盘突出症的临床观察和初步探讨	許超等	(255)
推拿治疗 63 例腰痛病的疗效观察	許超等	(260)
附 录:		
中华医学会鞍山市支会 理疗 1963 年年会紀要		(263)
編后記		(264)

湯崗子矿泉对机体某些生理机能 影响的初步探討

鞍山市湯崗子矿泉理疗医院

張玉田 叶士忻 孫貴田 等
魯德利 張天靜

我国是应用矿泉医疗疾病最早国家之一，据記載远在紀元前四千年就已被利用，公元前600年論語中曾記載了矿水沐浴的情况，但是矿泉疗养事业的发展与提高仅仅起于解放后。湯崗子溫泉所含之主要化学成分有氯及重碳酸鈉、硫酸鈉、氯化鈉等盐类。如按 B. A. 亞力山大氏分类应属于第六种五·四类即氯气水；按德、日分类则属于放射能泉；因泉溫达72℃ 亦属高热泉。

湯崗子矿泉在临床上的应用，經驗証明对許多疾病，如风湿性关节疾病、胃腸病、妇女盆腔炎、外伤后遺症……，均有良好效果。然而对机体的影响仍不甚清楚，国内其他矿泉疗养地区对这方面的报导亦不多，国外如苏联、日本等对这方面均有系統研究。日本斋藤氏⁽¹⁾对矿泉治疗时机体的內分泌、代謝作了詳細的研究。苏联 Царфис 氏⁽²⁾对矿泉治疗前后机体血清鈣、磷、蛋白、血沉等亦作了詳尽比較。为了进一步了解湯崗子矿泉对机体的作用，几年来湯崗子矿泉理疗研究所进行了一系列的工作，現将所觀察的几項初步結果介紹于下，以供参考。

I. 血液动力学的觀察

一、觀察对象選擇

为了使觀察結果更准确，指标尽可能少受其他因素影响，我們將觀察对象作如下規定：均为男性关节系統疾病患者；年龄在20~40岁之間；过去未接受矿泉治疗或至少半年以上未进行水疗者；被觀察者无心血管系統疾患。

二、方法与指标

按上述标准选择91例，不加选择地分为6組，即水溫34℃ 15例，36℃ 15例，38℃

16例，40°C 15例，42°C 15例，44°C 15例。每組浴前，浴中5分鐘、15分鐘，浴後10分鐘、20分鐘、30分鐘分別檢查脈搏、呼吸、血壓，水浴前至少休息15分鐘，水浴時間為15分鐘，水浴採用單人水池，仰臥式，胸部露出水面。

血壓測定取平臥式，以聲音改變為舒張壓標準，部分受試者進行了呼吸脈搏曲線描記。

三、觀察結果

(1) 脈搏：見表一。

表一 不同溫度水浴前后脈搏變化 (平均數)

時 間		組別	34°C組	36°C組	38°C組	40°C組	42°C組	44°C組
浴 前		87次/分	61.6次/分	64.6次/分	72.9次/分	69次/分	65.4次/分	
浴 中	5 分 鐘	70.8	69	67.8	74.1	84.6	96.9	
	15 分 鐘	68	69.4	73	76.4	83.3	116.1	
浴 后	10 分 鐘	65.3	66.1	67.4	65.9	75	85.3	
	20 分 鐘	65	58.8	64	64.4	71.1	80.3	
	30 分 鐘	65	62.3	62.5	61.6	69.3	72.7	

根據表一所示，除34°C水溫組外，其他各組脈搏在水浴後5分鐘開始加快，一般在水浴15分鐘時增加更快，出浴後逐漸減慢，至浴後30分鐘基本恢復，脈搏增加似與水溫成正比。以上現象基本與本院58年礦泉研究小組材料⁽³⁾相符，值得指出者為34°C組，水浴後脈搏減少至浴後30分鐘仍未恢復。

(2) 呼吸：見表二。

表二 不同溫度水浴前后呼吸變化 (平均值 次/分)

時 間		組別	34°C組	36°C組	38°C組	40°C組	42°C組	44°C組
浴 前		20.1	20	20.9	18.7	18.5	20	
浴 中	5 分 鐘	26.2	20.3	20.1	21.0	21.3	22.4	
	15 分 鐘	21.5	20.6	21	24.2	21.6	29	
浴 后	10 分 鐘	20.6	20.4	21	21	20.6	23.2	
	20 分 鐘	21.0	20.3	20.3	21.9	19.4	22	
	30 分 鐘	20.7	20.4	20.0	20.4	18.8	20.3	

根據表二所示，各組經過水浴後呼吸次數均增加，浴中15分鐘最明顯，水溫與呼吸次數增加成正比，浴後20分鐘開始減少，此與本院58年礦泉研究小組材料⁽³⁾相符，浴後30分鐘恢復。34°C水溫組水浴後5分鐘，呼吸次數即急遽上升，出浴後10分鐘恢復，此現象不

同于其他各組， 36°C 、 38°C 組呼吸变化差异不甚明显。

(3) 血压：見表三。

表三 不同溫度水浴前后平均血压变化 (mm Hg)

組 別		34°C 組	36°C 組	38°C 組	40°C 組	42°C 組	44°C 組
浴 前		116.1/80.4	117/79	119/71.3	107.6/75.1	118.3/76.5	112/70.9
浴 中	5 分 鐘	108.5/70.6	109/61.2	108/62.1	100.8/66.5	111.6/69.9	113/58.3
	15 分 鐘	102.8/66.3	110.3/61.1	109/62.5	100.7/67	109.8/66.4	106.4/57.2
浴 后	10 分 鐘	110.2/77.6	110.7/77.4	113.5/63.1	109.8/73	116.4/61.6	112.3/62.6
	20 分 鐘	109/77.6	110.5/74.8	111.1/68.3	106.9/71.2	116.1/72.0	107.4/64.9
	30 分 鐘	113.7/78.4	108.1/78.1	112.4/68.4	106.6/72	114.4/61.6	105.2/61.6

由上表可見六組收縮压均在浴中 5 分鐘开始下降，浴末 15 分鐘最明显，六組中收縮压自浴后 10 分鐘又有輕度回升，至浴后 20 分鐘又下降，以后漸漸恢复。收縮压下降程度与水溫无关，各組舒張压变化基本同收縮压变化。

从以上資料来看，不同溫度水浴 ($34\sim44^{\circ}\text{C}$) 的作用能使机体血压发生暂时下降，脉搏呼吸則均有增加，三者变化以水浴末 15 分鐘最明显，浴后 30 分鐘接近恢复。

II. 內分泌系統的觀察

一、17-KS 觀察

(1) 觀察对象的选择：类风湿性关节炎、强直性脊椎炎、皮肤病患者无其他內分泌代謝机能障碍者；过去未接受激素治疗；住院前至少有 6 个月未接受水疗，任意选择，因此病情輕重均有。

(2) 方法与指标：水浴一疗程 15 次，疗程前后测定 24 小时尿内 17-KS 量。水溫 $40\sim42^{\circ}\text{C}$ ，每日一次，治疗 6 次后休息一日，共 15 次，治疗中如关节疼痛剧烈可服用止痛剂不作其他治疗，17-KS 测定按陈培恩氏介紹 Masuda 及 Thibline 二氏改良法。

表四 治疗前后24小时尿17-KS 排出量比較 (毫克)

組 別 檢 查 时 間	类风湿性关节炎		强直性脊椎炎		皮 膚 病 *		總 平 均	
	例 数	平均 值	例 数	平均 值	例 数	平均 值	例 数	平均 值
療 程 前	14	16.345	16	15.14	11	22.17	41	17.885
療 程 后	6	17.475	4	10.24	5	30.24	15	19.338

* 療前包括蕁麻疹 7 例，濕出紅斑 1 例，搔痒症 1 例，干癬 1 例，花斑癬 1 例，
療后包括蕁麻疹 4 例，搔痒症 1 例。

根据上表，通过矿泉水浴后，除强直性脊椎炎組外，其他各組尿中24小時17-KS排出均有不同程度升高，說明矿泉水浴后能使腎上腺皮質机能活跃，兴野氏⁽⁴⁾觀察資料亦同，特別在水浴第七次升高最明显，第十四次时仍維持較高水平，可惜我們未作水浴第七次检查。佐藤氏⁽⁵⁾觀察的結果亦認為在浴中7~10次尿中17-KS排出有增加，14次后减少。斋藤氏报告在18例中有13例在水浴一回后增加，3例减少，2例无变化。关于强直性脊椎炎組浴后減低，因未作疗程中期測定。因此難以确定当时是否增高，同时亦應考慮此四例患者是否与其本身腎上腺皮質机能低下有关。

二、嗜酸細胞計數觀察

(1) 觀察对象的选择：嗜酸細胞計數觀察对象的选择，基本上同血液动力學組。

(2) 觀察方法：单次水浴，浴前自耳垂取血作嗜酸細胞計数，水浴后休息一小时重复进行，其中24例在上午进行，18例在下午測定，水浴溫度为38~42℃。時間15分钟，仰臥式，前胸露出水面。

表五 单次水浴前后嗜酸細胞計數变化

組 別	浴 前		浴 后		減 少 数	
	細 胞 数	%	細 胞 数	%	細 胞 数	%
上 午 組	22.91	100	9.83	42.9	13.68	57.1
下 午 組	69.61	100	34.22	49.1	35.39	50.9

水浴前后嗜酸細胞不論在上下午均有明显减少現象，說明单次水浴能促使腎上腺皮質机能活跃，此現象与日本兴野氏⁽⁶⁾資料一致。

三、毛細血管脆性測定

(1) 觀察对象的选择：基本同血液动力學組。

(2) 觀察方法：单次水浴，浴前于右側前臂按赫斯修改之Rumpel & Leede氏法測定2.5cm直径圓圈中出血点，水浴15分钟，仰臥，前胸露出水面，水溫38~42℃，出浴后休息一小时，于左侧前臂进行同样检查。

表六 单次水浴前后毛細血管脆性变化

	水 沐 前	水 沐 后	減 少 数
例 数	46人	46人	
平 均 出 血 点	21.71个/2.5cm	14.56个/2.5cm	7.15个/2.5cm
百 分 数 (%)	100	66.1	33.9

皮質激素能增加毛細血管壁阻力，降低毛細血管脆性，毛細血管脆性可由Rumpel & Leede氏法測定，由上表所示，水浴前后平均出血点減少7.15个/2.5cm(33.9%)，因此說明毛細血管脆性減低。

如上觀察礦泉水浴後使 24 小時 17-KS 排出量增加，嗜酸細胞減少，毛細血管脆性減低，提示我們礦泉水浴具有促進腎上腺皮質機能活躍作用。其作用途徑究竟是通過皮膚末梢感受器使皮層作用於垂體而呈現神經體液途徑抑或由於垂體——皮質系統血循環增加所致，或二者兼有，難以肯定。

III. 代謝方面的觀察

一、基礎代謝率的觀察

(1) 觀察對象的選擇：凡確診為類風濕性關節炎，強直性脊椎炎而無其他疾病之患者，半年內未作礦泉治療，入院後休息 3~5 日，使適應環境，再進行觀察。

(2) 觀察方法：應用 Kroph 氏法測定 44 例，其中 28 例於礦泉水浴一疗程後次日復查。礦泉水溫 40~42°C，每次 10~15 分鐘，15 次一疗程，治療 6 日，休息一日。

測定前臥床休息 12 小時，不進飲食，不吸煙，室溫保持 15~25°C，記錄時間 10 分鐘，同時記錄身長、體重、溫度，按許氏體表面積檢查器計算體表面積。

表七

水浴療程前後基礎代謝率變化

B M R 時 間	+ (1-10%)	+ (11-20%)	+ (21-30%)	+ (31-40%)	- (1-10%)	- (11-20%)	- (21-30%)	- (31-40%)
療 程 前	12人	3人	6人	1人	9人	6人	1人	1人
療 程 后	5人	1人	2人	2人	10人	5人	1人	1人

療程前觀察 44 例，其中 1 例為女性，療程後觀察 27 例。其中 1 例為女性，如表七，療前正常者 21 例占 48.8%，過高者 15 例占 34%，過低者 8 人占 17.2%，平均為 +5.36% (+36~-31.6%)。療後正常者 15 人占 55.5%，過高者 5 人占 18.5%，過低者 7 人占 26%，平均為 +0.35% (+21.8~-37.9%)。

按上結果不難看出，一疗程水浴後，基礎代謝率正常者由 48.5% 增加至 55.5%，高於 +10% 者由 34% 減少至 18.5%，-10% 以下由 17.2% 增至 26%，說明基礎代謝率有一定程度降低，與 Л. Н. Козлова 氏^[7]在泥療 200 例類風濕性關節炎觀察的資料相似，認為類風濕性關節炎在活動期往往基礎代謝率有增加現象。通過浴後炎症狀好轉，症狀減輕，因此基礎代謝率亦隨之減低。Г. В. Цитланадзе 觀察礦泉浴後基礎代謝率亦同樣降低。我們觀察水療後絕大多數患者病情好轉，症狀均有不同程度改善，亦符合基礎代謝率減低的情況。

二、血漿蛋白代謝觀察

(1) 觀察對象的選擇：基本同基礎代謝率組。

(2) 觀察方法：礦泉水療前後檢查空腹血漿蛋白，礦泉治療方法同基礎代謝率觀察組。

(3) 觀察結果：見表八。

表八

疗程前后血浆蛋白变化

	治疗前平均值 ^{**}	治疗后平均值	治疗前后平均值差
总蛋白	6.76 ± 0.093 [*]	6.75 ± 0.096	- 0.01
白蛋白	4.04 ± 0.097	4.086 ± 0.102	+ 0.046
球蛋白	2.80 ± 0.12	2.81 ± 0.124	+ 0.01

* 标准误差 = $\pm \sqrt{\frac{S^2}{N}}$, 标准差 = $\pm \sqrt{\frac{Zd^2 p}{N}}$,

** 治疗前 85 例, 治疗后 69 例。

疗程前观察 85 例, 疗程后观察 69 例, 疗程前低于正常为 13 例, 占 15.3%, 疗程后低于正常有 10 例占 14.5%。疗程前后平均值之差没有大于 $3 \times \sqrt{m_1^2 + m_2^2}$, 因此其差别无意义。根据本院 58 年观察资料来看基本相同, 而 Царфис 氏材料则认为有增加现象。

三、钙磷变化

(1) 观察对象选择: 同血浆蛋白代谢组。

(2) 观察方法与指标: 水浴疗程前后测定, 水浴进行同血浆蛋白代谢组。正常血钙为 9~10 毫克%, 血磷为 3~4.5 毫克%。

(3) 观察结果: 见表九。

表九

疗程前后血清钙磷变化

(毫克)

项目 数 值	血 钙 组				血 磷 组			
	疗 程 前	疗 程 后	疗 程 前	疗 程 后	疗 程 前	疗 程 后	疗 程 前	疗 程 后
正 常 值	21	52.5%	24	68.5%	31	77.5%	25	76%
高 于 正 常 值	3	7.5	3	8.5	7	17.5	8	24.2
低 于 正 常 值	16	40	8	23.5	2	5	0	0
总 数	40	100	35	100	40	100	33	100

血清钙疗前检查 40 例, 疗后检查 35 例, 疗程前低于正常有 16 例, 占 40%, 疗后低于正常 8 例, 占 23.5%, 血清磷疗前检查 40 例, 疗后检查 33 例, 疗程前低于正常 2 例, 占 5%, 疗程后无低于正常者。

由上表可见疗程后血钙轻度上升, 血磷无明显变化, Царфис 氏(2)材料认为血清钙含量有轻度下降现象能使血磷恢复正常。因此与我们的材料有不同之处。

四、肝功检查

(1) 对象选择: 基本同血浆蛋白组。

(2) 方法与指标: 水浴疗程前后测定高田氏反应, 醋酸酐试验, 脑磷脂絮状反应, 锌濁度、麝香草酚濁度, 碘反应, 马尿酸排泄试验, 血清胆固醇测定, 水浴进行同血浆蛋白组。

(3) 观察结果: 见表十。

表十

矿泉水浴疗程前后肝功变化

項 檢 查 時 間	高 田		醋 酸 銅		膽 架		鋅 渴		鈣 渴		碘 反應		膽 固 醇		馬 尿 酸		
	正 常	異 常	正 常	異 常	正 常	異 常	正 常	異 常	正 常	異 常	正 常	異 常	正 常	異 常	正 常	異 常	
療程前	例 數	42	16	38	17	26	4	5	2	55	3	0	3	13	2	8	0
	%	72.4	27.6	69	31	86.7	13.3	71.4	28.6	94.8	5.15				100		
療程後	例 數	34	8	28	8	26	0	7	0	42	4	0	1	10	1	8	
	%	81	19.0	76.5	23.5	100		100		92	8.6				100		

在我們觀察組中，雖有部分病人有輕度肝功異常，但未發現肝脾腫大及肝炎症狀，因此沒有足夠資料診斷為傳染性肝炎，這些病人由上表所示通過礦泉水浴後肝功均有不同程度的恢復，這一現象說明肝功的異常是由於关节炎本身所引起的；此現象早已為人所周知〔8-9〕，隨著关节炎臨床症狀的恢復肝功亦漸漸恢復。

五、體重的觀察

- (1) 觀察對象的選擇：基本上同血漿蛋白組。
- (2) 方法與指標：水浴療程前後測量體重，時間為清晨空腹，治療過程中合併其他疾病不計在內，水浴進行同血漿蛋白組。
- (3) 觀察結果：見表十一。

表十一

水浴療程後體重變化

	公 斤 數	百 分 比 %	人 數
平均增加數	2.811	64.6	108
平均減少數	2.379	24.5	41
無變化		10.8	18

在 179 例中通礦泉水浴一療程後，體重增加有 108 例，平均增加 2.811 公斤，減輕有 41 例，平均減輕 2.379 公斤。18 例無增減，另 12 例資料不完整。礦泉水浴一療程後約有 64.6% 患者體重均有增加，最高達 10 公斤以上。此與我院原四療科觀察材料相符〔10〕。

IV. 其他方面

一、谷胱甘肽測定

- (1) 觀察對象的選擇：類風濕性关节炎及強直性脊椎炎患者，入院前有半年以上未作礦泉治療，本身無其他合併症。
- (2) 觀察方法與指標：療程前後測定谷胱甘肽總量，還原型，氧化型含量；水浴進行同

血浆蛋白組。按 G. E. Woodward, E. G. Fry 二氏碘滴定法測定。

(3) 觀察結果：見表十二。

表十二 水浴疗程前后谷胱甘肽平均值变化 (毫克%)

病名	治療前 谷胱甘肽量				治療后 谷胱甘肽量			
	例数	总量	还原型	氧化型	例数	总量	还原型	氧化型
强直性脊椎炎	20	54.075	44.795	8.717	11	54.71	45.756	8.502
类风湿性关节炎	28	51.60	41.43	9.83	17	52.87	41.02	8.40

正常人 SH 基总量为 30~75%，还原型为 27mg %，氧化型为 8 mg %。在类风湿性关节炎及强直性脊椎炎組中无论总量，氧化型在疗程前后均无明显变动，但两組病例之还原型谷胱甘肽却明显高于正常值，此現象有待今后进一步觀察。

二、血沉的觀察

(1) 觀察对象选择：同谷胱甘肽測定組，水浴期間除疼痛服用止痛剤外，不服其他药物。

(2) 觀察方法：水浴进行方法同血浆蛋白組，疗程前 1~2 日，疗程中 7~8 日，疗程結束次日空腹清晨測定，采用 Westgreen 氏法，觀察 1~2 小时，計算中等价。

(3) 觀察結果：見表十三。

表十三 疗程前中后血沉变化比較表

时 间	血 沉 10mm↓	11~20	21~30	31~40	41~50	51~60	61~70	71~80	81~90	91~100	100以上	总人数
療 前	57	42	30	18	8	6	6	4	5	1	2	179
療 中	9	15	18	12	10	1	7	1	3	0	0	75
療 后	42	46	17	13	6	5	4	0	1	0	1	129

疗程前共測定 179 例，疗程中測定 75 例，疗程末測定 129 例，其变化如表十三。

疗程前 179 例的血沉平均值为 25.1 ± 0.28 mm，疗程中 75 例血沉平均值为 31.74 ± 0.35 mm，疗程后 129 例血沉平均值为 21.31 ± 0.34 mm，依此觀之血沉通过矿泉治疗在疗中有一过性上升，至疗末又下降。疗中与疗后血沉平均下降 10.43 mm，如按 $3 \times \sqrt{m_1^2 + m_2^2}$ 比較之則具有一定差別意义。

討 論

湯崗子矿泉系放射能碱性矿泉，氡是镭的半衰变直接产物，但在放射性矿泉中起作用的不仅是氡，还有氡衰变后寿命較短的产物如镭 A. B. C. C¹ 和 C²，它们能以活性膜形态兀着于体表，且能放出 α. β. γ. 射线，引起末梢神經向心性冲动，从而改变中枢神經系

統的机能状态，引起神經——体液等改变，氯浴具有消炎脱敏作用，能加强抑制过程，活跃机体的保护和调节适应能力。当然矿泉水浴的作用不单纯限于矿泉水内所含有之化学成分，而且还有温热与机械作用，我們所进行的观察，仅仅限于湯崗子矿泉，沒有采取对照，故仅仅說明湯崗子矿泉对上述指标的改变。

血液动力学方面觀察說明单次水浴使脉搏和呼吸有一过性增加，血压則有暫時下降現象，此可能系矿泉温热的作用使机体产生暫時血管扩张之故。三項指标在治疗过程中（15分钟），其变化与时间成正比，因为我們沒有将水浴時間再延長，故难以說明单次水浴20分钟或更多时此三項指标的变化。根据水浴15分钟資料我們認為身体比較衰弱或有心血管系统功能低下者，治疗时间最好采用10分钟左右时间。同时規定水浴后安靜休息30分钟亦十分必要，只有这样才能保証机体迅速恢复水浴前的状态。

为了观察水疗疗中血液动力学的变化动态，应当在不同次数及治疗后不同日期中进行观察。

內分泌系統方面：矿泉对內分泌的作用是我們長期以来研究的課題，矿泉可以作为非特异性因子作用于机体，而使內分泌系統发生变化，特別根据 Selye 氏緊張状态學說(11) (Stress)，可以認為矿泉是一种非特异性緊張状态刺激物 (Stressor)。

17—KS，嗜酸細胞，毛細血管脆性三者的变化中說明湯崗子矿泉对类风湿性关节炎，风湿性关节炎，一些皮肤病等可产生良好效果，此一事实亦已为临床所証实。此外使我們相信矿泉水浴可以預防激素停药的复发或者延緩复发的发生，避免因停用激素而病情轉剧。

嗜酸細胞計數，毛細血管脆性测定簡易可行，17—KS 测定比較繁難，且个体差异較大，应用上有一定限制。嗜酸細胞，17—KS 与季节有一定关系，根据日人渡邊氏觀察，冬夏两季嗜酸細胞有30% 的变动。在一日中亦有較大变动。毛細血管脆性的变化与血液成分变化，毛細血管壁状态的变化，植物神經的变化及局部皮肤情况等均有关，因此应充分考慮到这些因素。

代謝方面：基础代謝率的降低，表明关节疾病通过治疗后症状好轉的結果，当然不能排除矿泉水浴本身对基础代謝率的影响，因热水疗法亦能降低代謝，我們采用的溫度是40~42°C，应当属于热水疗法。

血清鈣的增加我們認為有二种可能性，一是与血液中 CO_2 張力增加有关，另一方面是否因长期水浴引起輕度脫鈣現象。Нупубидзе 氏(13) 觀察水中体操时有血鈣上升現象，如果真如此，那么在矿泉水浴时对骨質有明显疏松的患者应当密切注意。

肝功，体重在水浴疗程后均有一定程度的恢复，說明矿泉治疗具有一定积极意义。

由于机体内各种重要功能如尿的分泌，胃液的分泌，肌肉收縮，神經活动等均与 SH 有关，此外如組織的生長繁殖，抗体的生成，药物治疗的作用等亦与 SH 基有关。因此引起我們的注意，从观察的数据来看，疗程前后均无明显变化。

血沉虽在各种炎症情况下均能升高，对风湿性疾病亦非特异性，但簡易可行，且有一定敏感性，因此仍為我們所采用。觀察結果血沉在疗中有暫時上升現象，对此难以作出适当解釋，Царфис 氏材料指出氯气浴后血沉有交叉現象，即临床症状減輕，而血沉仍高，該氏亦未作解释。我們認為在矿泉水浴过程中如果临床症状減輕，血沉仍高或暂时升高，只要慎密觀察仍可繼續治疗。

总 結

- (1) 本文探討了湯園子矿泉对机体的某些作用。
- (2) 单次水浴浴中血压下降，呼吸脉搏上升，浴后30分钟基本上恢复。
- (3) 矿泉水浴能促使肾上腺皮质机能活跃。
- (4) 矿泉治疗后基础代谢随疾病好转而降低，肝功，体重均有恢复。
- (5) 矿泉治疗后有血沉下降现象。

参考資料

- [1] 斋藤几久次郎(夏德貴譯): 关于矿泉浴中的内分泌代謝之研究, 日本温泉气候学会杂志 Vol. 24 № 3. 1960. 297. 本院内部材料。
- [2] П. Г. Царфис: Заболевания суставов и их курортное лечение. медгиз-1960. Москва
- [3] 湯園子温泉疗养院矿泉研究小组: 汤園子矿泉和矿泥对血液动力学和血液化学的影响, 理疗与疗养 P. 15-24. I期. 1958年。
- [4] 兴野义一: リウマチ性疾患の温泉治疗に関する臨床的研究, 第一報告。
リウマチ患者の尿中 17-KS 排泄に及ぼす温泉浴πへの影响。
日本温泉气候物理医学会杂志, 1962年 26卷 1号. pp. 43-55。
- [5] 佐藤雄泽: 有关温泉和尿中 17-KS 排泄研究, 日本温泉气候学会杂志, 23卷 3号. 1959年 pp. 14-30。
- [6] 兴野义一: リウマチ性疾患の温泉治疗に関する臨床的研究, 第二報告。
关节リウマチ患者の Thorn 氏試験とてに及ぼす温泉浴的影响。
日本温泉气候物理医学会杂志. 1962年. 26卷. 1号. pp. 57-63。
- [7] Л. Н. Козлова: Изменение газообмена больных инфекционными артритами под влиянием грязевых (Сапропелевых) процедур. Вопр. Курортол. Физиотер. и Леч. 1959. 5号 p. 429.
- [8] Hollander: Arthritis and Allied conditions. Fifth edition London Henry Kimpton 1953.
- [9] Dresner E: Some current aspects of etiology of rheumatoid arthritis. J. Chronic disease. 5: 612. 1957.
- [10] 本院原四疗科: 矿泉、矿泥治疗对75例风湿性关节痛患者体重影响, 理疗与疗养, 1960. 1期 pp. 39-40。
- [11] Sodeman: Pathologic physiology mechanisms of disease second edition 1956.
- [12] Г. Б. Цитланадзе(刘政达、史永明译): 茨哈尔吐布矿泉对人体作用, 理疗与疗养, 1958; 2期 pp. 66-68。
- [13] Ш. В. Нуцубидзе(張天靜译): 强直性脊椎炎和脊椎关节强直的水中体操。
理疗与疗养, 1958. 2期. pp. 58-60。

医用紫赤外綫机

鞍鋼劳动卫生及职业病研究所 王忠义

赤 外 線 机

一、赤外綫灯管

赤外綫旧名“发热射綫”，所有发热光源都能产生不同波長和数量的赤外綫。因此，产生赤外綫的光源不仅局限在固定形式的某种灯管上，例如炭棒的弧光灯、炭极或金属絲的白热灯及各种金属发热体等等。决定赤外綫的質和量是根据发热光源的制造材料及其白热化溫度而变化。炭絲灯的白热化溫度比較低，約2000℃以下，其輻射的光譜主要是紅外綫和紅色光綫。比較少量的其他可見光綫和极微量紫外綫还大都被玻璃吸收。溫度在近2000℃时，一般都采用真空金属玻璃泡，其波長約在2微米部分。溫度达2500℃或更高时，多用充气人工太阳灯。这种灯管最高的輻射能光譜比較接近可見光綫的紅外綫部分。其波長約在1.3微米。它比較适合中深部的热疗。而各种开放式金属螺旋絲的灯管溫度較低，最大的輻射能是在紅外綫光譜很远的部分，約5微米的波長。这样的波長易被組織表层吸收。

因此，为了治疗的目的，可选用各种各样白热灯泡和其他发热光源。但目前理疗常用的光源有下述二种：

- (1) 普通白热灯，波長約在1.5~2.5微米。
- (2) 由一种镍鉻合金制成的高电阻絲，特制为炉絲螺旋式样，通电时一段其溫度可达600℃左右，最大輻射能处于波長5微米的紅外綫光譜內。这种高电阻材料螺旋絲式紅外綫大都纏在耐热的支柱上，有的外用特殊乳白玻璃管固定成圓弧管。

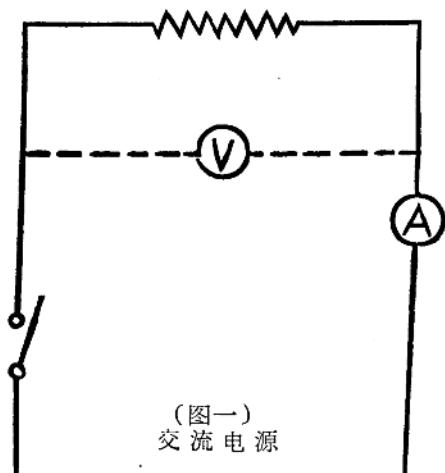
二、赤外綫机电路分析

它的电路比較简单。总是直接連結在直流或交流电源上。电路的計算是应用純电阻电路的欧姆定律和功率公式。

$$\text{即: } I = \frac{V}{R} \quad P = V \times I$$

我們使用時須注意的是必須符合該管的額定電壓和電流。否則，會燒壞燈管或紅外線波長發生改變。下面的舉例是德國 HANAU 產紅外線管的電路和實際測得數據。見(圖一)，表一。

鎳 鉻 電 阻



表一 有負荷測量

电 压	220V	180V	110V
电 流	4.9A	4.2A	2.6A

其阻值約為45Ω

根據該廠說明，此管的額定規格是 220V，(交直兩用) 4.9A。結合測量數據，因此它應該直接連在 220V 的電源上使用，其功率大約為 1 KW。

紫 外 線 机

產生紫外線源的種類極多。舊式的大都採用炭極電弧放電式，形狀不一，有供局部，全身和集體照射。其機器名稱雖多不同，如文森氏弧光燈等等。但它们都是通過較大電流的電弧放電而產生。並用改變電流的大小和電弧極間距離來調節紫外線的質和量。這種燈往往伴有大量的紅外線和可見光線，由於裝置笨重，操作麻煩，同時產生紫外線的質量並不穩定，已很少應用。現代化的紫外線源，在醫用上有採用短波紫外線機。其燈管與氫氣水銀石英燈管相似，所不同的就是它通過高頻電場來激發，促使管內氣體游離。普通的氫氣水銀石英燈管在 30 兆周的高頻電場下，即可引起短波紫外線的輻射。由於燈管不發熱，所以塗在燈管電極上的活性物質就不會消耗，大大增長了它的壽命。目前應用還不普遍。下面我們重點介紹二種常見的紫外線機。

一、水銀石英燈及其電路介紹

它是一種非常強烈的紫外線輻射光源。是在抽出空氣的石英管內，裝入一定量的液體水銀，由於管端膨大而盛有水銀，並封有金屬電極一對，為了能燃點燈管使水銀產生電弧放電而發生紫外線，所以在接通電源時，操作者必須用傾斜倒轉管子的辦法，使水銀接通電極，